

Рис. 1. Циклическая вольтамперограмма, полученная на ПГЭ в 0,1 М калий-фосфатном буфере, содержащем 50 мМ NaCl, рН 7,4, в отсутствие (---) и в присутствии (-) 1 мМ препарата А, скорость сканирования потенциала 0,08 В/с, шаг потенциала 0,01 В

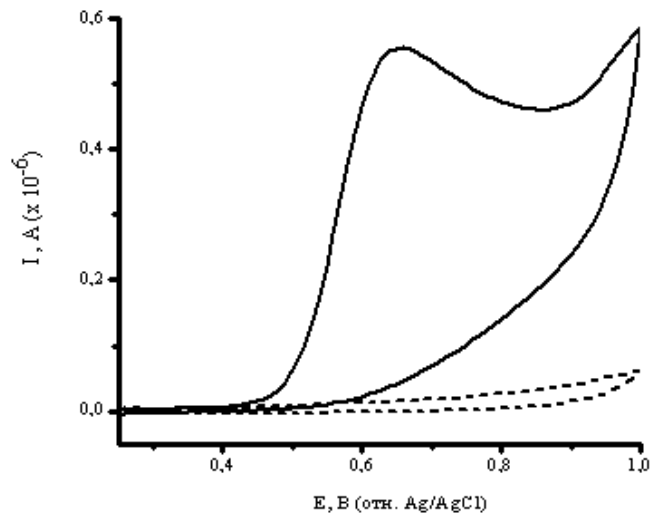


Рис. 3. Циклическая вольтамперограмма, полученная на ПГЭ в 0,1 М калий-фосфатном буфере, содержащем 50 мМ NaCl (рН 7,4), в отсутствие (---) и в присутствии (-) 100 мкМ препарата Д, скорость сканирования потенциала 0,08 В/с, шаг потенциала 0,01 В

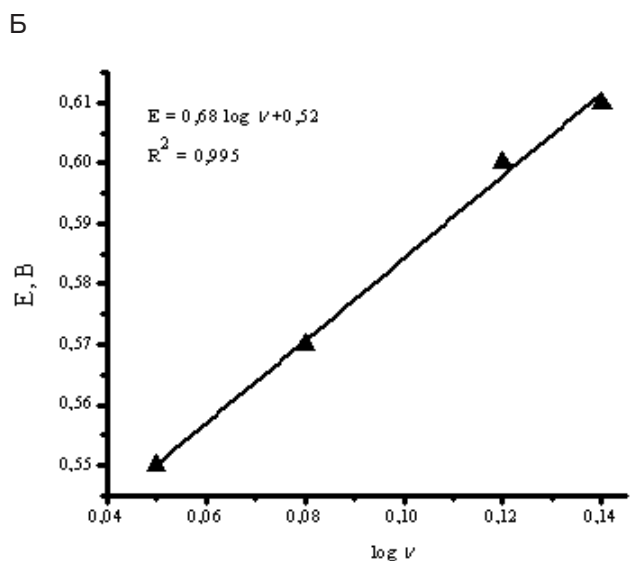
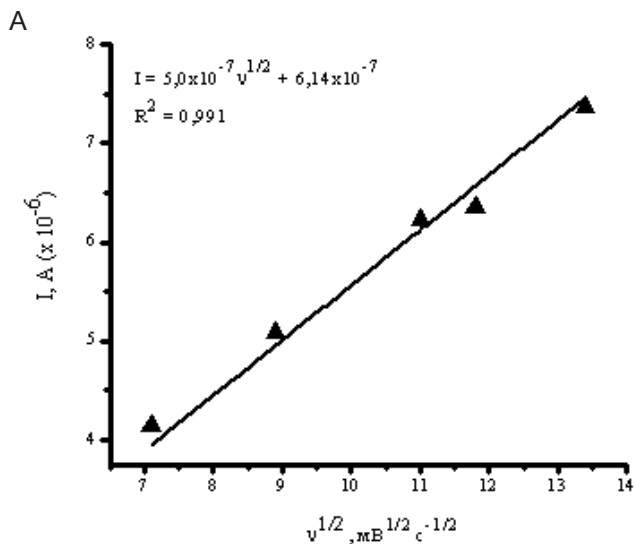


Рис. 2. А. Зависимость тока пика окисления от квадрата скорости сканирования потенциала $v^{1/2}$. Б. Изменение потенциала пика окисления от $\log v$ для циклических вольтамперограмм 1 мМ препарата А в диапазоне скоростей сканирования потенциала 0,05–0,18 В/с

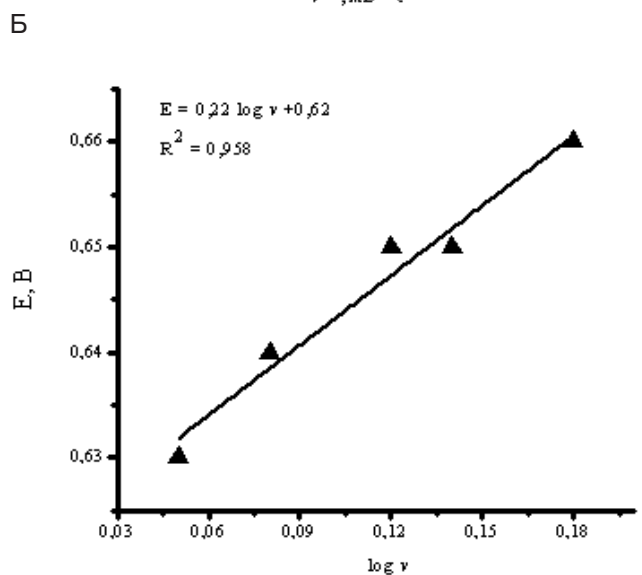
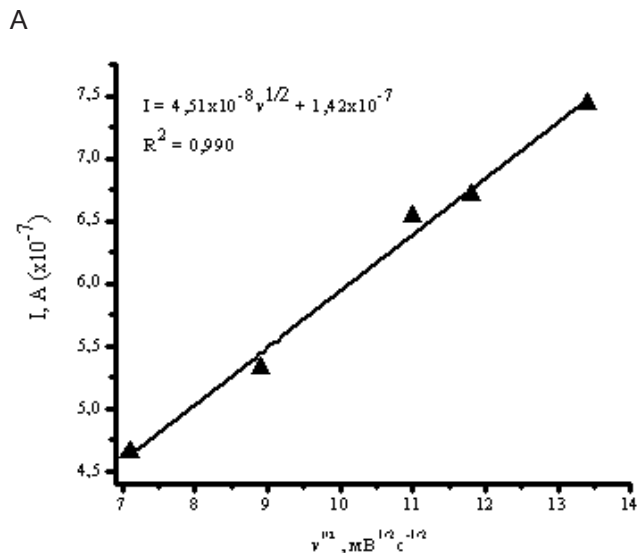


Рис. 4. А. Зависимость тока пика окисления от квадрата скорости сканирования потенциала, $v^{1/2}$. Б. Изменение потенциала пика окисления от $\log v$ для циклических вольтамперограмм 100 мкМ препарата Д в диапазоне скоростей сканирования потенциала 0,05–0,18 В/с

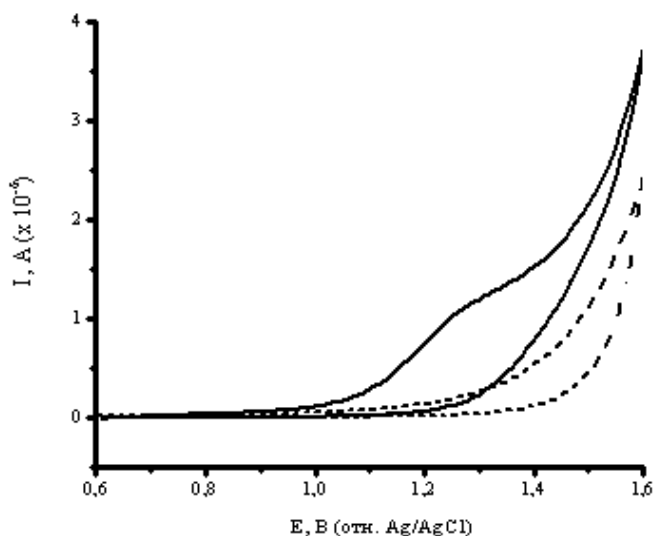
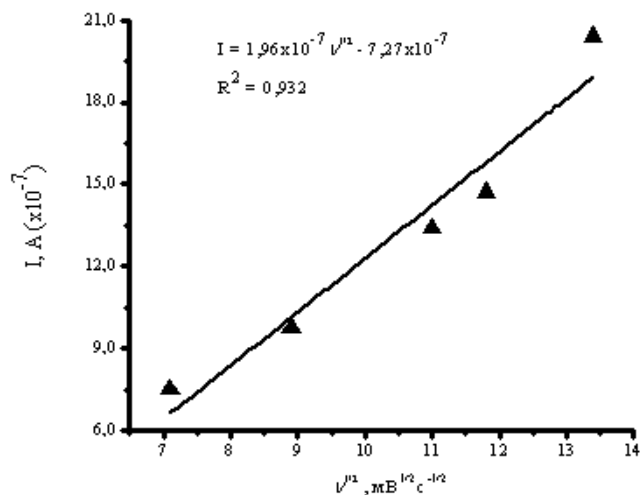


Рис. 5. Циклическая вольтамперограмма, полученная на ПГЭ в 0,1 М калий-фосфатном буфере, содержащем 50 мМ NaCl (рН 7,4), в отсутствие (---) и в присутствии (-) 5 мМ препарата И, скорость сканирования потенциала 0,08 В/с, шаг потенциала 0,01 В

А



Б

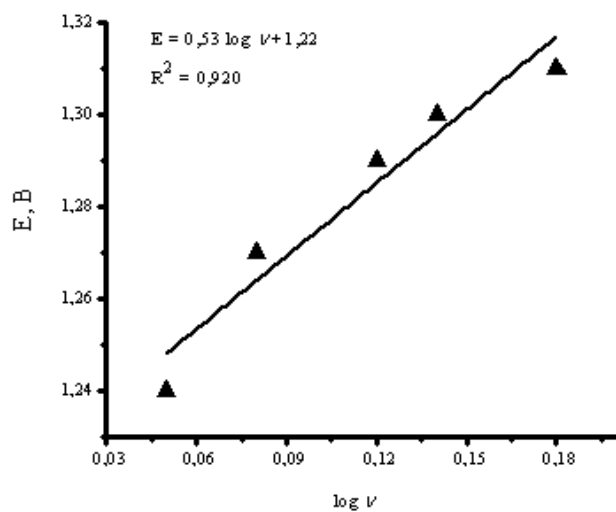


Рис. 6. А. Зависимость тока пика окисления от квадрата скорости сканирования потенциала, $v^{1/2}$. Б. Изменение потенциала пика окисления от $\log v$ для циклических вольтамперограмм 5 мМ препарата И в диапазоне скоростей сканирования потенциала 0,05–0,18 В/с